

6.6 Die Ornstein-Zernicke (OZ)-Gleichung -

a) OZ-Gleichung und direkte Korrelationen

- für homogene und isotrope Flüssigkeiten:

$$h(r_{12}) = c(r_{12}) + g \int d^3 r_3 c(r_{13}) h(r_{32}) \quad (6.54)$$

... Gl. für totale Korrelationsfunktion $h(r) = g(r) - 1$

- Interpretation & Bedeutung von $c(r)$:

rekursive Lsg. von (6.54):

$$h_0 = c \rightarrow (6.54) \rightarrow h_1 = c + g \int c c \rightarrow (6.54)$$

(6.55)

$$\rightarrow h(r_{12}) = c(r_{12}) + g \int d^3 r_3 c(r_{13}) c(r_{32}) + g^2 \int d^3 r_3 d^3 r_4 c(r_{13}) c(r_{34}) c(r_{42}) + O(g^3, c^4)$$

graphische Repräsentation: $\overline{g} \int d^3 r_3$

$$h = \underset{1}{\circ} \underset{2}{\circ} + \underset{1}{\circ} \underset{3}{\bullet} \underset{2}{\circ} + \underset{1}{\circ} \underset{3}{\bullet} \underset{4}{\bullet} \underset{2}{\circ} + \dots$$

Deutung / Bemerkung:

$$(i) g \rightarrow 0: h(r) = c(r) \stackrel{(6.41)}{=} e^{-\beta V(r)} - 1 + O(g) \quad (6.56)$$

$\underbrace{e^{-\beta V(r)}}_{f(r) \dots \text{Mayer Fkt}} - 1 + O(g)$

$$g(r) - 1$$

... direkte Korrelation zwischen 2 Teilchen!

(ii) rekursive Lsg. (6.55):

indirekte Korrelation zwischen Teilchen 1 & 2

Bsp: zwischen Teilen 1&3 und 3&2

→ $c(r)$... direkte Korrelationsfkt.!

$h(r), g(r)$... alle Korrelationen

(iii) o.B.: $c(r) = -\beta v(r)$ für $r \rightarrow \infty$

$$\text{NB: für } g \rightarrow 0: c(r) = h(r) = g(r)-1 = e^{-\beta v(r)} - 1 \approx -\beta v(r) \quad (6.44)$$

$$\begin{matrix} \approx \\ \beta v \ll 1, \\ r \rightarrow \infty \end{matrix}$$

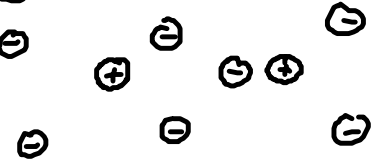
also: $v(r), c(r)$... dieselbe Reichtwerte!

weitreichende Korrelationen von $h(r)$ durch
indirekte Korrelationen! s. Folie

Achtung: ionische Flüssigkeiten: Mischg von \oplus, \ominus

$$v(r) \sim \frac{1}{r} \sim c(r)$$

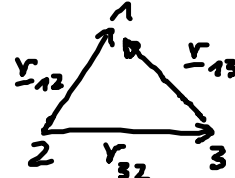
aber: $h(r) \sim e^{-\lambda r}$, wegen Abschirmung



• Verbindg: $c(r) \leftrightarrow S(k)$?

Umschreibung von Oz-Gleichg (6.54):

$$r = r_{12}, \quad r' = r_{32} \longrightarrow r_{13} = r - r'$$



$$\rightarrow h(r) = c(r) + g \int d^3 r' c(|r-r'|) h(r') \quad (6.58)$$

Fourier-Trafo
Faltung $h(k) = c(k) + g c(k) h(k) \mid g$

$$\rightarrow g h(k) (1 - g c(k)) = g c(k) \rightarrow g h(k) = \frac{g c(k)}{1 - g c(k)} \stackrel{(6.43)}{=} S(k) - 1$$

$$\rightarrow S(k) = \frac{1 - g c + g c}{1 - g c} \rightarrow S(k) = \frac{1}{1 - g c(k)} \quad (6.53)$$

Beweis: (i) $S(k) \geq 0 \rightarrow g_c(k) \leq 1$ (6.53a)

(6.44)

$$(ii) (6.53) \rightarrow [S(k \rightarrow 0)]^{-1} = \frac{1}{g_c^L T \chi_T} = 1 - g_c(k \rightarrow 0) \\ = 1 - 4\pi g \int dr r^2 c(r) \quad (6.60)$$

• also: $c(r)$... wichtige Größe

Abschließende Bedingung = Relation zwischen
 $c(r)$ & $h(r)$ [$g(r)$], $v(r)$

b) Abschließende Bedingung: („closure relation“)

- etwas technisch, Eindruck vermitteln
- ableitbar mit diagrammatischen Methoden
- Sollen konsistent sein mit:

$$(1) g(r < 2a) = 0 \quad g \equiv v(r) \text{ mit „harten Kern“}$$

$$(2) c(r) = -\beta v(r), \quad r \rightarrow \infty$$

(i) mittlere sphärische Näherung [„mean-spherical approximation“ (MSA)]

$$\begin{aligned} \text{Ansatz: } g(r < 2a) &= 0 \\ c(r > 2a) &\approx -\beta v(r) \end{aligned}$$

$$\text{in (6.54)} \rightarrow h(r_{12}) \approx -\beta v(r_{12}) - g \int d^3r_3 \beta v(r_{13}) h(r_{32}) \quad (6.61)$$

... lineare Integral Gl. für h

• Vorteil: analytische Lösung existiert!

harte Kugeln, Rechtecke; Coulomb-, Yukawa-, Dipol-Wave-Potential

→ Anwendung Elektrolyt-Lösungen, polare Flüssigkeiten

(ii) Percus-Yevick-Näherung (PY):

(6.62)

• Motivation: $\underline{h=g-1} \quad (6.58)$ $c(r) = g(r) - \underbrace{\left[1 + g \int d^3 r' \{ g(|r-r'|)-1\} c(r') \right]}_{:= g_{\text{ind}}} \quad h(r) = c(r) + g \{ c(r-r') h(r') \}$

... Anteil von g von indirekten Korrelationen!

es gilt: $g(r) = e^{-\beta \omega(r)}$
 $\xrightarrow{\text{Annahme}} g_{\text{ind}}(r) \approx e^{-\beta [\omega(r) - v(r)]} = g(r) e^{\beta v(r)}$

$\xrightarrow{(6.62)} \boxed{c(r) \approx g(r) [1 - e^{\beta v(r)}]} \quad (6.63)$

$\xrightarrow{\text{in (6.62)}} \boxed{e^{\beta v(r)} g(r) = 1 + g \int d^3 r' [g(|r-r'|)-1] [1 - e^{\beta v(r')}]} g(r') \quad (6.64)$
... Percus-Yevick-Gl.
(nichtlineare Integral-Gl.)

• Bemerkungen:

(1) analytisch lösbar für harte Kugeln in 3D:

arbeitet mit Kernfkt. $y(r)$ mit

$$y(r) = e^{\beta v(r)} g(r) = \begin{cases} g(r), & r > 2a = 6 \\ -c(r), & r < 2a \end{cases} \quad [v(r) = 0!]$$

(2) numerisch lösbar für beliebiges $v(r)$

(3) gut für kurzreichweite Potentiale